

神戸大学工学部 正員 藤井 学

" " 横村 雄佑

(株)栗本鉄工所 " 在賀 良助

[1] 緒言

コンクリートに局部荷重を作用させた場合、その載荷板直下の支圧応力はそのコンクリート強度ではなく3種を示す。従来この支圧強度に対して多くの実験が行なわれてゐるが、多くは支圧強度を σ_c 、載荷面積比 A/A_0 で表示してゐる。局部荷重を受けたコンクリートの破壊機構は複雑であり、載荷板直下の局部圧壊、柱中心線上に生ずる割裂引張応力による割裂破壊、載荷板端の断面にそつてのひびわれによるせん断破壊等が部材寸法比(b/h)、載荷面積比(A/A_0)、コンクリート強度等に影響を受けて、その破壊機構を変化させてゐる。本文は b/h 、 A/A_0 を変化させてその破壊機構および支圧強度におよぼす影響を調べ、また補強効果を実験的に検討したものである。

[2] 実験計画

本実験では、載荷状態は2次元とし、載荷倍率 $\beta(A/A_0)$ を0.2~0.7の6種に、 b/h を1.0、2.0、2.75の3種とした。また建築学会のPC標準による許容支圧応力を用いて定着部を設計した場合、そのコンクリート許容引張応力 σ_{ck} との相違による破壊安全率の変化を、さらに補強筋を定着域に等配分した場合の支圧強度および破壊模式を検討した。

[3] 供試体の作成

供試体はコンクリート打設後24時間で脱型し、養生庫で試験日まで湿布養生した。使用セメントはアサノペロセメント、砂利は吉野川産、最大粒径20mm、砂は吉野川産、粗粒率2.61%であった。コンクリート設計強度は520kg/m³、供試体は各2個とした。

[4] 供試体形状、寸法

供試体形状、寸法を図-1に示す。すべての実験シリーズにありて供試体の幅および奥行き $z(h)$ は一定とし、それより20mm、10mmとした。高さ (h) は蒸成コンクリートでは20mm、40mm、55mmとし、補強筋試体はすべて40mmである。

[5] 補強筋の形状、寸法および筋量

補強筋はすべて供試体上部20mm内に配置した。シリーズD、Eでは補強筋はTengatの2次元解を用いて算出し、この場合、設計コンクリート圧縮強度は520kg/m³、表-1 供試体D、Eの設計荷重および筋量
 コンクリート引張強度 σ_{ck} は10および20kg/m²、筋筋許引張応力 σ_{ck} =1400kg/m²とした。筋筋はその重心が割裂引張力の重心と一致するように配置した。(図-1参照)

設計荷重、筋筋量を表-1に示す。筋筋径は6mm、材質はSR24である。シリーズFでは筋筋本数をD-2と同一の8本とし、シリーズGではFの2倍とした。補強筋は載荷面より1cmの位置から20mmの間に17kg等間隔に配置した。

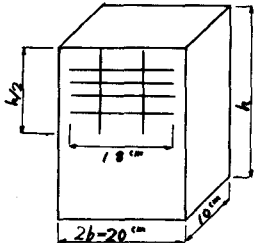


図-1. 供試体形状、寸法

(kg)	1(0.2)	2(0.3)	3(0.4)	4(0.5)	5(0.6)	6(0.7)
設計荷重(kn)	16.0	20.7	25.3	28.3	31.0	33.4
筋筋 D-6	6	8	8	8	6	6
筋筋 E-5	5	7	6	5	4	2

(6) 実験結果および考察

(1) 無筋供試体のひびわれとその破壊性状

無筋供試体の破壊性状は、その部材寸法比 $\frac{h}{2b}$ および載荷幅率 β によって大きく影響をうける。 $\frac{h}{2b} = 1.0$ の場合、初ひびわれは β に無関係に載荷板端より生じ（以下せん断ひびわれと記す、図-2(b))、さらに荷重上昇後圧壊した。 $\frac{h}{2b} = 2.0$ では、 $\beta = 0.2, 0.3$ において供試体軸上より初ひびわれ（以下割裂ひびわれと記す、図-2(a)) が発生し、 $\beta = 0.4 \sim 0.7$ において、初ひびわれはせん断ひびわれであり、荷重上昇後圧壊した。

$\frac{h}{2b} = 2.75$ では、 $\beta = 0.2 \sim 0.6$ において割裂ひびわれを生じ、 $\beta = 0.7$ の場合だけがせん断ひびわれである。なお割裂ひびわれの場合、破壊は激しく、ひびわれ後の荷重上昇はごくわずか（表-2）であった。割裂ひびわれ域とせん断ひびわれ域は図-5に示すようになり、両者の境界線は次式で与えられる。

$$(\frac{h}{2b})^{0.437} = \frac{1.3}{5.67} \cdot \beta \left(\frac{1}{\beta} \right)^{0.5}, \quad (\gamma_{cr} = \gamma_{max}/8, \quad g = P/2bt) \quad \dots \dots \dots \quad (1)$$

(2) 割裂ひびわれ時の支圧応力 γ_{cr} の算定法

図-3は $h = 40cm, 50cm$ 供試体において、割裂ひびわれを生じたものについて、Iyengar 理論値と比較したものである。こゝに理論値とは、理論解における軸軸上の最大引張応力 γ_{max} がコンクリートの引張強度 γ_c に達したときの値である。図中各実測値、実線は理論解の 1.3 倍した値を示したもので、実測値と理論値とはよく一致している。したがって本実験においては、

$$\frac{h}{2b} = 2.0 \quad \dots \dots \quad \beta = 0.2, 0.3$$

$$\frac{h}{2b} = 2.75 \quad \dots \dots \quad 0.2 \leq \beta \leq 0.6$$

の範囲において、そのひびわれ荷重は、さらにひびわれ荷重と破壊荷重との差がほとんどないところ、破壊荷重は Iyengar 解を用いて、かなり正確に求めることができる。また理論値と実測値がよく一致することは、ひびわれ荷重ならしは破壊荷重はコンクリート引張強度 γ_c と一次比例の関係にあることを示している。なお、割裂ひびわれ時の支圧応力 γ_{cr} は次式で表わされる。

$$\gamma_{cr} = A \cdot \frac{\gamma_c}{\beta} \quad (\Rightarrow A = 1.3) \quad \dots \dots \dots \quad (2)$$

(3) せん断ひびわれ時の支圧応力 γ_{cr} の算定法

せん断ひびわれを生じた供試体につき、ひびわれ時の支圧応力 γ_{cr} と β との関係を両対数方眼紙にプロットすると図-4のようになる。 $h = 20cm, h = 40cm$ の場合の γ_{cr} と β との関係を数式表示したものを同図中に示す。こゝの式より、寸法 ($h/2b$) 効果を含めた γ_{cr} の実験式は(3)式となる。

$$\gamma_{cr} = a \left(\frac{h}{2b} \right)^\alpha \gamma_c \left(\frac{1}{\beta} \right)^\delta \quad (\Rightarrow a = 5.67, \alpha = 0.437, \delta = 0.5) \quad \dots \dots \dots \quad (3)$$

図-4を図-3と比較すると、 $h = 20cm$ の場合、 γ_{cr} は Iyengar 理論解(2)式の下側にあり、また $h = 40cm$ の場合は、 $\beta \geq 0.4$ のとき 同様の状態となっている。したがって、割裂ひびわれが発生する以前には

表-2. 実験結果(無筋供試体)

(h)	(P)	1(0.2)	2(0.3)	3(0.4)	4(0.5)	5(0.6)	6(0.7)
	0.5 (%)	461	461	461	461	461	461
A-	0.4 (-)	35.2	35.2	35.2	35.2	35.2	35.2
(20)	P _{cr} (ton)	17.82	21.58	23.48	32.30	29.40	30.50
	P _{max} (ton)	20.40	24.70	27.88	40.60	43.90	46.80
	0.5 (%)	478	478	478	492	492	492
B-	0.4 (-)	28.0	28.0	33.1	33.1	33.1	33.1
(40)	P _{cr} (ton)	20.50	22.53	25.65	30.40	39.70	38.50
	P _{max} (ton)	21.50	23.48	30.68	36.75	42.98	55.07
	0.5 (%)	560	560	560	530	530	530
C-	0.4 (-)	39.7	39.7	39.6	39.6	39.6	39.6
(55)	P _{cr} (ton)	25.50	33.95	39.80	47.15	58.90	48.80
	P _{max} (ton)	25.50	34.55	45.40	47.15	59.35	61.60

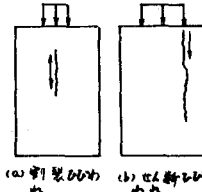


図-2. ひびわれ状況

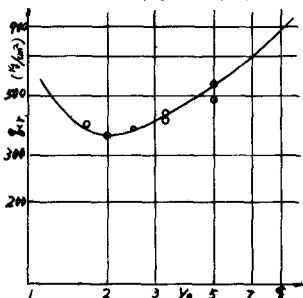


図-3. 割裂ひびわれ時の γ_{cr}

せん断ひびわれが生ずる β の値は供試体の高さ h が増加するにつれて大きくなっています。割裂ひびわれが生ずる域とせん断ひびわれが生ずる域との境界線(図-5)はすでに(1)式で示したが、これは(2)式と(3)式とを差置して求めたものである。(2)式と(3)式のうち、小さい値となる方がその供試体のひびわれ荷重となる(図-6実験)。

(4)せん断ひびわれ後の破壊時支圧力 q_{max}

(1)に示すベータより、 $h=40\text{mm}$ におけるせん断ひびわれは載荷板端より直角に生じたので、せん断ひびわれ後の供試体を図-7のように考えると、A-A断面のひびわれ直前のせん断力 $T_{0.15}$

$$T_{0.15} = (1-\beta) \cdot \beta b q_{cr}, \quad (q_{cr} = P_{cr} / 2\beta b t) \quad \dots \dots (4)$$

さらにひびわれ直後のA-A断面のせん断力を T 、底面での各荷重を q_1, q_2 とすれば、力の釣合から

$$\beta > 0.5, \quad T = \frac{2(1-\beta)}{(1+\beta)^2} \cdot (7\beta^2 - 4\beta + 1) \cdot b q_{cr}, \quad q_1 = \frac{4(2-\beta)\beta}{(1+\beta)^2} q_{cr}, \quad q_2 = \frac{4(2-\beta)\beta}{(1+\beta)^2} q_{cr} \quad \dots \dots (5)$$

$$\beta < 0.5, \quad T = \frac{2}{9} \beta b q_{cr}, \quad q_1 = 0, \quad q_2 = \frac{4}{3} q_{cr} \quad \dots \dots (6)$$

したがって、境界条件の変化によりかんたんに計算できたりが、A-A断面のせん断力 T が荷重上界下に達したとき再びA-A断面にせん断ひびわれが生ずるとすれば、初ひびわれ後A-A断面にせん断ひびわれが生ずるためには、荷重は $T_{0.15}$ 倍だけ上昇せねばならぬ。表-3によれば、 β が大きくなるほど $T_{0.15}$ の値は小さくなり、A-A断面よりひびわれが発生しやすくなる。またせん断ひびわれによると q_2 は q_{cr} より大きくなる。したがってこの q_1 と q_2 の比が十分大きければ、再びA-A断面にせん断ひびわれが発生し供試体は全面載荷の状態で破壊されるといふことだ。しかし本実験ではひびわれ時に q_1 と q_2 の比も 7% の値より小であり、したがって表-3に示すかぎり図-7仮想供試体は q_2 が 0% に達したとき供試体は破壊すると言えらる。

(5)補強効果

本実験では、補強供試体の初ひびわれはすべての β についてせん断ひびわれが発生した。

表-4は供試体D,Eにおける設計荷重に対する破壊安全率を示している。供試体Dにおける安全率は平均2.00、Eにおけるは平均1.89であり、 0% の相違によつて安全率は6%上昇(たやすく)。

表-5は無筋供試体に対する供試体D,Eの破壊荷重の比(P_{max}/P_{cr})を示したものである。無筋に対する補強供試体は $0\%a=10\%b^2$ の場合平均32%、 $0\%a=20\%b^2$

の場合平均21%の重量増加を示している。以上述べたように a/b を変化させてもその効果はあります。

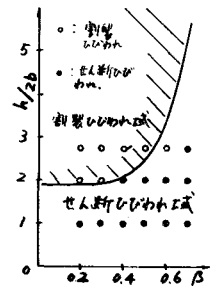
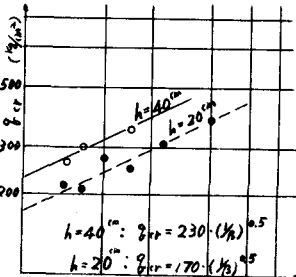


図-4. せん断ひびわれ時の q_{cr}

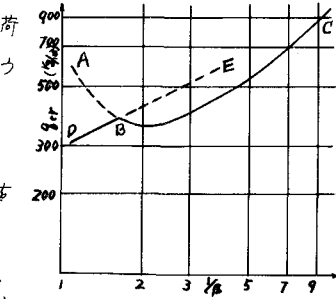


図-6. 任意供試の q_{cr}

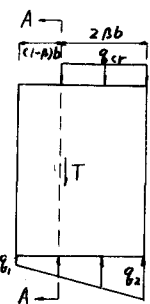


表-3. せん断ひびわれ時の支圧強度

β	$T/T_{0.15}$	q_2/q_{cr}	q_1/q_{cr}	q_{max}/q_{cr}	$T_{0.15}/q_{cr}$	q_2/q_{cr}
0.4	2.64	1.33	3.21	4.27	1.12	3.84
0.5	2.25	1.33	3.04	4.04	1.22	3.68
0.6	1.83	1.31	3.31	4.33	1.14	3.67
0.7	1.51	1.26	2.75	3.47	1.42	3.93

表-4. 破壊安全率

β	D	E
P_{max}	2.17	1.78
P_{design}	1.88	1.94

表-6は供試体D下における補強効果を示したものである。ひびわれ荷重に対するF₁は平均約1.07であり、水平筋により約7%の荷重増加を示す。¹²⁾

子灰破壊荷重に対するF₂は約20~55%の増加を示す。¹²⁾ 供試体Dにおけるβ=0.3~0.5では補強筋筋数15との場合と同一¹²⁾であるが、荷重上昇率は供試体D¹²⁾では平均35%，F₂は49%²⁾あり、筋筋分布させた方が補強効果が大きいである。せん断ひびわれ後のひびわれた両部分の結合が筋筋分布させた方が良い、したがってひびわれによる荷重の偏心率が少なくななるためである。

図-8は筋筋量の増加に対するF_{max}の変化を示す。¹²⁾ この場合コンクリート強度を500kg/cm²として補正した。図-8によれば補強筋を倍増させた場合、支圧应力F_{max}の増加はβ=0.2の場合かなり認められるが、βが大きくなるとあまり効果は認められないと。¹²⁾ これはβが小さい場合、せん断ひびわれ後のひびわれた両部分の体積比は1に近く、したがって両部分の結合が密であるほど荷重は上昇するが、βが大きくなるとその体積比は0に近づき、したがって補強筋の増加に対するその補強効果は増大すると思われる。¹²⁾

[7] 結論

(1)無筋供試体のひびわれ、破壊性状はb/2b、βによらず異なり、(7)式で計算される範囲では割裂ひびわれを、(8)式で計算される範囲ではせん断ひびわれを生ずる。

$$(b/2b)^d \geq \frac{A}{\alpha} \cdot k \cdot (\gamma_b)^d \quad \dots \dots (7)$$

$$(b/2b)^d \leq \frac{A}{\alpha} \cdot k \cdot (\gamma_b)^d \quad \dots \dots (8)$$

本実験では定数の値は $\alpha=0.437$, $A=1.30$, $\alpha=5.67$, $k=0.57$ であった。ひびわれ小後の荷重上昇は割裂ひびわれの場合ほど多くないが、せん断ひびわれの場合は約27%上昇する。

(2)無筋コンクリートのひびわれ時支圧应力は(7), (8)式で与えらるる範囲に於ける次式で求められる。

$$\text{割裂ひびわれ: } g_{cr} = A \cdot k \cdot 0.5^d / \beta, \quad k = \frac{F_{max}}{\gamma_{max}} \quad \dots \dots (9)$$

$$\text{せん断ひびわれ: } g_{cr} = A \cdot (b/2b)^d \cdot 0.5^d / (\gamma_b)^d \quad \dots \dots (10)$$

(3)無筋コンクリート供試体の破壊荷重P_{max}は割裂ひびわれを生ずる供試体に対するP_{max}より、またせん断ひびわれを生ずる供試体に対するP_{max}はコンクリート強度αに比例して3K表示す値を用いて求められる。

(4)補強筋は割裂引張力に於ける集中して配置するより十分分散させた方がひびわれ後の結合効果が大きい、したがって荷重増加率も大きい。

(5)筋筋量を増加させた場合、その荷重上昇率はβの小さなほど認められた。

表-5. 供試体D, Eにおける補強効果

(kg)	(B)	1(0.2)	2(0.3)	3(0.4)	4(0.5)	5(0.6)	6(0.7)
D- (10)	P _{cr} (kg)	25.2	29.6	33.8	37.8	41.5	44.8
	P _{max} (kg)	25.2	29.6	33.8	40.5	49.3	59.8
	P _{cr} (%)	31.50	33.80	25.70	53.20	42.40	37.10
	P _{max} (%)	34.65	36.80	49.45	55.35	65.40	67.55
		P _{max} /P _{cr}	1.38	1.24	1.46	1.36	1.33
E- (20)	P _{cr} (kg)	27.2	35.2	36.5	40.9	44.8	48.3
	P _{max} (kg)	27.2	35.2	36.5	40.9	45.8	55.5
	P _{cr} (%)	25.60	39.20	28.50	38.20	46.00	41.70
	P _{max} (%)	30.10	40.10	46.60	57.70	54.90	63.00
		P _{max} /P _{cr}	1.11	1.14	1.28	1.41	1.20

表-6. 供試体下における補強効果

β	0.2	0.3	0.4	0.5	0.6	0.7	
無	P _{cr} (kg)	28.4	33.3	38.1	40.1	44.0	47.5
筋	P _{max} (kg)	28.4	33.3	38.1	43.3	52.8	64.0
強	P _{cr} (%)	28.90	38.00	41.70	59.00	49.40	47.50
強	P _{max} (%)	36.40	49.40	55.90	66.50	70.30	77.50
比	P _{cr} /P _{cr}	1.02	1.14	1.09	1.47	1.12	1.00
比	P _{max} /P _{cr}	1.28	1.48	1.47	1.53	1.33	1.21

